

文章编号: 1001- 2486(2008) 05- 0043- 06

雷达目标全极化一维距离像的瞬时测量方法*

刘勇¹, 李永祯¹, 王雪松¹, 吕彤光²

(1. 国防科技大学 电子科学与工程学院, 湖南 长沙 410073; 2. 二炮装备研究院, 北京 100085)

摘要: 雷达目标宽带全极化测量在雷达成像、目标识别等领域有着重要应用, 为此, 基于正交频率分集思想, 设计了一种用于宽带全极化瞬时测量的矢量信号波形; 给出发射信号模型和回波信号模型, 利用该波形的单个脉冲回波, 可以获取测量带宽内多频点全极化数据, 再经逆离散傅立叶变换后可以得到目标的全极化一维距离像; 最后, 用仿真数据和实测数据进行仿真实验, 验证了该方法的有效性。

关键词: 全极化一维距离像; 瞬时测量; 正交频率分集; 极化散射矩阵

中图分类号: TN958 文献标识码: A

Instantaneous Measuring Method of Radar Target Full-polarization Range Profiles

LIU Yong¹, LI Yong-zhen¹, WANG Xue-song¹, LU Tong-guang²

(1. College of Electronic Science and Engineering, National Univ. of Defense Technology, Changsha 410073, China;

2. The Second Artillery Equipment Institute, Beijing 100085, China)

Abstract: Wideband full-polarization measurement for radar target is of important application in the research fields of radar imaging and target recognition. Based on orthogonal frequency division and full-polarization instantaneous measuring method, a new waveform vector was designed to get full-polarization information simultaneously under wideband condition. Firstly, the models of emitting and receiving signals were given, and full-polarization datum in frequency could be gathered, and then target full-polarization range profiles were obtained after IDFT. Finally, the validity of this measuring method was verified by simulation, using simulated datum and real measured datum.

Key words: full-polarization range profile; instantaneous measurement; orthogonal frequency division; polarization scattering matrix

目标光学区电磁散射特性可以用散射点模型来近似, 当雷达信号带宽足够宽时, 目标散射点径向分布将被分辨出来, 得到一维距离像^[1-2]。另一方面, 目标的极化信息可用来描述表面粗糙度、对称性及取向等特征, 对完整刻画目标特性是不可缺少的。因此, 将极化与高分辨技术相结合成为雷达成像、目标识别领域的研究热点^[2-4]。

全极化一维距离像的获取可分成两个独立过程: 一是利用宽带信号来获取一维距离像, 常用的宽带信号有步进频信号、线性调频信号等^[5-6]; 二是进行全极化测量以得到四路极化通道数据, 全极化测量主要有两种方案^[7-9]: 分时极化测量和瞬时极化测量。当前普遍采用的是分时极化测量, 即交替发射两路正交极化信号, 并与接收、处理两路回波信号一起来实现全极化测量。这种测量方案的缺点是明显的^[7-8]: 对于高速运动目标, 在两次相邻观测期间, 雷达相对于目标的观测姿态发生变化, 雷达并不能获得目标在同一时刻的全极化数据。为此, 必须采用两个正交极化通道同时发射、同时接收的全极化瞬时测量方案^[7-8], Guili 等研究几种常用波形(双频脉冲、正负线性调频及二相编码)的瞬时测量性能, 另外, 王雪松等研究了基于双频矢量脉冲波形的全极化瞬时测量方法^[10]。

然而, 现有全极化瞬时测量方法大都只限于窄带应用, 因此, 本文在步进频宽带信号基础上, 结合正交频率分集思想, 设计出一种宽带全极化瞬时测量波形, 利用其单次脉冲回波信号来获取目标全极化一

* 收稿日期: 2008- 04- 16

基金项目: 国家自然科学基金重点项目(60736006); 湖南省教育厅资助科研项目

作者简介: 刘勇(1981-), 男, 博士生。

维距离像。

1 信号模型

结合正交频率分集思想(OFDM)^[11-12],可设计出类似于步进频信号的全极化瞬时测量波形矢量,称作瞬时步进频矢量脉冲波形。其基本原理是:全极化雷达的H、V极化通道同时发射多个窄带正交子载波信号,而接收机在宽带接收基础上,利用子载波之间的正交性消除互扰,并综合多个测量频点的全极化数据来获取目标全极化一维距离像。

1.1 发射信号模型

设雷达载波频率为 f_c ,测量带宽为 B ,发射信号的基带调制频率分别是 f_0, f_1, \dots, f_{M-1} , M 个测量频率分别是 $f_c + f_0, f_c + f_1, \dots, f_c + f_{M-1}$ 。这时,瞬时极化雷达的基带调制信号矢量为

$$e_i(t) = \begin{bmatrix} e_H(t) \\ e_V(t) \end{bmatrix} = \begin{bmatrix} \sum_{i=0}^{M-1} e^{j2\pi f_i t} \\ \sum_{i=0}^{M-1} e^{j2\pi(f_i + \mathcal{G})t} \end{bmatrix} \cdot \text{rect}\left(\frac{t}{\tau_p}\right) = \sum_{i=0}^{M-1} e_{i,i}(t) \quad (1)$$

其中, $e_H(t)$ 、 $e_V(t)$ 分别是 H、V 极化通道的调制信号; $\text{rect}\left(\frac{t}{\tau_p}\right) = \frac{1}{\tau_p}, |t| \leq \frac{\tau_p}{2}$, τ_p 是脉冲宽度; \mathcal{G} 是为消除极化通道间的波形互扰所选择的频率差,称为极化频差。当 \mathcal{G} 很小时,可认为目标在频率 $f_c + f_i$ 、 $f_c + f_i + \mathcal{G}$ 的极化散射矩阵近似相等。同时,设 M 个测量频率均匀分布在带宽 B 内,相邻频点之间的频差记作 Δf ,目的是消除不同测量频点间的波形互扰,称为测量频差。这样,第 i 个调制子载波频率为 $f_i = f_0 + i \cdot \Delta f$ 。 $e_{i,i} = [e^{j2\pi f_i t} \ e^{j2\pi(f_i + \mathcal{G})t}]^T \text{rect}\left(\frac{t}{\tau_p}\right)$ 是发射信号的第 i 个窄带调制子载波矢量,瞬时步进频矢量脉冲波形可看作是 M 个窄带子载波矢量的叠加。

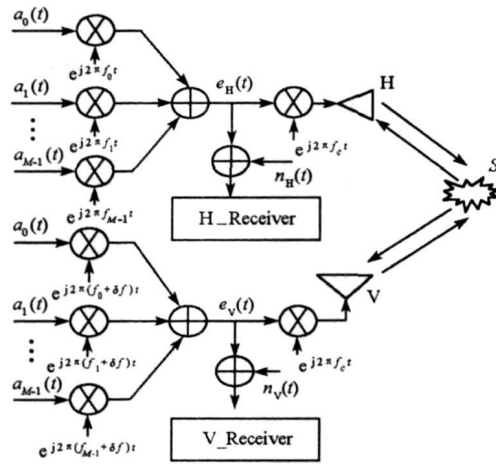


图 1 基于瞬时步进频矢量波形的极化雷达信号流程

Fig. 1 Signal flow of polarization radar based on instantaneous stepping frequency waveform vector

图 1 是基于瞬时步进频矢量脉冲波形的极化雷达信号流程图,其中, $a_0(t) = \dots = a_{M-1}(t) = \text{rect}\left(\frac{t}{\tau_p}\right)$,

$n_H(t)$ 、 $n_V(t)$ 分别是 H、V 极化通道的接收机噪声。

1.2 雷达目标多散射点回波信号模型

在光学区,雷达目标回波可看作是多个散射点回波信号的相干合成^[1]。这样,由多个散射点组成的复杂目标将呈现出频域色散特性,即其极化散射矩阵随观测频率的变化而变化。

设雷达目标由 L 个强散射点组成, 并记第 k 个散射点的极化散射矩阵为 $S^k = \begin{bmatrix} S_{hh}^k & S_{hv}^k \\ S_{vh}^k & S_{vv}^k \end{bmatrix}$, 到雷达的

初始距离为 r_0^k , 径向速度是 v^k , 则时变距离可表示成 $r^k(t) = r_0^k - v^k t$, 与之对应的回波延时为 $t = \frac{2r^k(t)}{c}$
 $= \frac{2r_0^k}{c} - \frac{2v^k}{c}t = t_0^k - \frac{2v^k}{c}t$, 其中, $k = 1, \dots, L$, $t_0^k = \frac{2r_0^k}{c}$ 是初始距离引起的固定延时, c 为光速。

雷达目标后向散射回波信号矢量表示为

$$e_s(t) = \sum_{k=1}^L S^k \cdot e_t(t - t_0^k) = \sum_{k=1}^L S^k \cdot \begin{bmatrix} \sum_{i=0}^{M-1} e^{j2\pi(f_c+f_i)(t-t_0^k)} \text{rect}\left(\frac{t-t_0^k}{T_p}\right) \\ \sum_{i=0}^{M-1} e^{j2\pi(f_c+f_i+\mathcal{G})(t-t_0^k)} \text{rect}\left(\frac{t-t_0^k}{T_p}\right) \end{bmatrix} \quad (2)$$

上式的物理解释是: 目标散射回波矢量 $e_s(t)$ 看作是 L 个散射点回波矢量的相干合成, 而每个散射点的散射回波是 M 个子载波回波的叠加。当脉冲宽度对应距离比散射点的分布尺寸大很多时, 各脉冲包络叠加波形与单个脉冲包络基本相同, 回波包络延时可用统一延时 t_0^k 代替。这样, 雷达接收机用频率为 f_c 的参考信号与回波信号混频, 得到的基带回波信号矢量为

$$e_r(t) = \sum_{k=1}^L S^k \cdot \left\{ \begin{array}{l} \sum_{i=0}^{M-1} [e^{j2\pi f_i t} \cdot e^{j2\pi(f_c+f_i)\frac{2t_0^k}{c}} \cdot e^{-j2\pi(f_c+f_i)t_0^k}] \\ \sum_{i=0}^{M-1} [e^{j2\pi(f_i+\mathcal{G})t} \cdot e^{j2\pi(f_c+f_i+\mathcal{G})\frac{2t_0^k}{c}} \cdot e^{-j2\pi(f_c+f_i+\mathcal{G})t_0^k}] \end{array} \right\} \cdot \text{rect}\left(\frac{t-t_0^k}{T_p}\right) + n(t) \quad (3)$$

其中, $(f_c + f_i) \cdot \frac{2v^k}{c}$ 为第 k 个散射点相对于频率 $f_c + f_i$ 产生的多普勒频移, 记作 $f_{i,d}^k$; $\mathcal{G} \cdot \frac{2v^k}{c}$ 是相对于极化频差产生的多普勒频移, 记作 \mathcal{G}_d^k ; $n(t) = [n_H(t), n_V(t)]^T$ 是接收通道噪声矢量。

交换式(3)中的求和顺序, 可以得到

$$e_r(t) = \sum_{i=0}^{M-1} \sum_{k=1}^L \left\{ S^k \odot \begin{bmatrix} e^{j2\pi f_{i,d}^k t} \cdot e^{-j2\pi(f_c+f_i)t_0^k} & e^{j2\pi(f_{i,d}^k + \mathcal{G}_d^k)t} \cdot e^{-j2\pi(f_c+f_i+\mathcal{G})t_0^k} \\ e^{j2\pi f_{i,d}^k t} \cdot e^{-j2\pi(f_c+f_i)t_0^k} & e^{j2\pi(f_{i,d}^k + \mathcal{G}_d^k)t} \cdot e^{-j2\pi(f_c+f_i+\mathcal{G})t_0^k} \end{bmatrix} \right\} \cdot \begin{bmatrix} e^{j2\pi f_i t} \\ e^{j2\pi(f_i+\mathcal{G})t} \end{bmatrix} \cdot \text{rect}\left(\frac{t-t_0^k}{T_p}\right) + n(t) \\ = \sum_{i=0}^{M-1} \sum_{k=1}^L [S^k \odot T_i^k] \cdot e_{r,i}(t) + n(t) \quad (4)$$

其中, \odot 表示矩阵对应元素相乘, $T_i^k = \begin{bmatrix} e^{j2\pi f_{i,d}^k t} \cdot e^{-j2\pi(f_c+f_i)t_0^k} & e^{j2\pi(f_{i,d}^k + \mathcal{G}_d^k)t} \cdot e^{-j2\pi(f_c+f_i+\mathcal{G})t_0^k} \\ e^{j2\pi f_{i,d}^k t} \cdot e^{-j2\pi(f_c+f_i)t_0^k} & e^{j2\pi(f_{i,d}^k + \mathcal{G}_d^k)t} \cdot e^{-j2\pi(f_c+f_i+\mathcal{G})t_0^k} \end{bmatrix}$, 是第 k 个散射点对于第 i 个子载波矢量的延时-频移参数矩阵, $S^k \odot T_i^k$ 描述了第 k 个散射点对于第 i 个子载波矢量的后向散射特性, $\sum_{k=1}^L S^k \odot T_i^k$ 描述了由 L 个散射点组成的复杂目标对第 i 个子载波矢量的后向散射特性。

令 $f'_0 = f_c + f_0$, 并把 $f_i = f_0 + i \cdot \Delta f$ 代入, 可得 $f_c + f_i = f'_0 + i \cdot \Delta f$, 把每个散射点的极化散射矩阵代入, 则 H 极化通道的接收信号具体表达式为

$$e_{r,H}(t) = \sum_{i=0}^{M-1} \left\{ \left[\sum_{k=1}^L S_{hh}^k \cdot e^{j2\pi f_{i,d}^k t} \cdot e^{-j2\pi(f_c+f_i)t_0^k} \right] \cdot e^{j2\pi f_i t} \right. \\ \left. + \left[\sum_{k=1}^L S_{hv}^k \cdot e^{j2\pi(f_{i,d}^k + \mathcal{G}_d^k)t} \cdot e^{-j2\pi(f_c+f_i+\mathcal{G})t_0^k} \right] \cdot e^{j2\pi(f_i+\mathcal{G})t} \right\} \cdot \text{rect}\left(\frac{t-t_0^k}{T_p}\right) + n_H(t) \\ = \sum_{i=0}^{M-1} \left\{ \left[\sum_{k=1}^L S_{hh}^k \cdot e^{j2\pi f_{i,d}^k t} \cdot e^{-j2\pi(f'_0+i \cdot \Delta f)t_0^k} \right] \cdot e^{j2\pi f_i t} \right. \\ \left. + \left[\sum_{k=1}^L S_{hv}^k \cdot e^{j2\pi(f_{i,d}^k + \mathcal{G}_d^k)t} \cdot e^{-j2\pi(f'_0+i \cdot \Delta f+\mathcal{G})t_0^k} \right] \cdot e^{j2\pi(f_i+\mathcal{G})t} \right\} \cdot \text{rect}\left(\frac{t-t_0^k}{T_p}\right) + n_H(t) \quad (5)$$

一般情况下, 有 $\mathcal{G}_d^k \ll \mathcal{G}$, 并且 $\mathcal{G}_d^k T_p \ll 1$, 故 $\mathcal{G}_d^k t$ 项在脉冲持续期内可近似认为不变, 记 $\delta \mathcal{G}_d^k = -2\pi \mathcal{G}_d^k t_0^k + 2\pi \mathcal{G}_d^k t$, 当目标只做刚体平动而没有旋转等运动时, 可认为各散射点的径向速度相等, 即有

$f_{i,d}^1 = \dots = f_{i,d}^L = f_{i,d}$, 则式(5)化简成

$$e_{r,H}(t) = \sum_{i=0}^{M-1} \left\{ \left[\sum_{k=1}^L s_{hh}^k \cdot e^{-j2\pi(f_0 + i \cdot \Delta f) t_0^k} \right] \cdot e^{j2\pi y_{i,d} t} \cdot e^{j2\pi x_i t} \right. \\ \left. + \left[\sum_{k=1}^L s_{hv}^k \cdot e^{j\delta \phi_0^k} \cdot e^{-j2\pi(f_0 + i \cdot \Delta f) t_0^k} \right] \cdot e^{j2\pi y_{i,d} t} \cdot e^{j2\pi(f_i + \mathcal{F}) t} \right\} \cdot \text{rect}\left(\frac{t-t_0}{T_p}\right) + n_H(t) \quad (6)$$

同理, V 极化通道的接收信号为

$$e_{r,V}(t) = \sum_{i=0}^{M-1} \left\{ \left[\sum_{k=1}^L s_{vh}^k \cdot e^{-j2\pi(f_0 + i \cdot \Delta f) t_0^k} \right] \cdot e^{j2\pi y_{i,d} t} \cdot e^{j2\pi x_i t} \right. \\ \left. + \left[\sum_{k=1}^L s_{vv}^k \cdot e^{j\delta \phi_0^k} \cdot e^{-j2\pi(f_0 + i \cdot \Delta f) t_0^k} \right] \cdot e^{j2\pi y_{i,d} t} \cdot e^{j2\pi(f_i + \mathcal{G}) t} \right\} \cdot \text{rect}\left(\frac{t-t_0}{T_p}\right) + n_V(t) \quad (7)$$

对 H、V 两路接收信号关于 t 做傅立叶变换, 可以得到

$$E_{r,H}(f) = \sum_{i=0}^{M-1} \left\{ \sum_{k=1}^L s_{hh}^k \cdot e^{-j2\pi(f_0 + i \cdot \Delta f) t_0^k} \cdot \text{sinc}[\pi(f - f_i - f_{i,d}) T_p] \right. \\ \left. + \sum_{k=1}^L s_{hv}^k \cdot e^{j\delta \phi_0^k} \cdot e^{-j2\pi(f_0 + i \cdot \Delta f) t_0^k} \cdot \text{sinc}[\pi(f - f_i - \mathcal{F} - f_{i,d}) T_p] \right\} + N_H(f) \\ E_{r,V}(f) = \sum_{i=0}^{M-1} \left\{ \sum_{k=1}^L s_{vh}^k \cdot e^{-j2\pi(f_0 + i \cdot \Delta f) t_0^k} \cdot \text{sinc}[\pi(f - f_i - f_{i,d}) T_p] \right. \\ \left. + \sum_{k=1}^L s_{vv}^k \cdot e^{j\delta \phi_0^k} \cdot e^{-j2\pi(f_0 + i \cdot \Delta f) t_0^k} \cdot \text{sinc}[\pi(f - f_i - \mathcal{G} - f_{i,d}) T_p] \right\} + N_V(f) \quad (8)$$

其中, $\text{sinc}(\cdot)$ 是辛克函数, $N_H(f)$ 、 $N_V(f)$ 分别是 $n_H(t)$ 、 $n_V(t)$ 的傅立叶变换。

2 全极化一维距离像的瞬时测量算法

2.1 子载波调制频率的选择

由式(6)、(7)看出, 每个子载波回波主要受两方面因素影响: 一是同极化通道间的子载波互扰; 二是正交极化通道间的子载波串扰。首先, 为消除 H、V 极化通道间的载波串扰, 要合理选择极化频差 \mathcal{F} , 使子载波 $e^{j2\pi y_i t} \cdot \text{rect}\left(\frac{t}{T_p}\right)$ 与 $e^{j2\pi(f_i + \mathcal{G}) t} \cdot \text{rect}\left(\frac{t}{T_p}\right)$ 正交, 极化频差应满足 $\mathcal{F} = \frac{k}{T_p}$, 特别地, 可选取 $\mathcal{F} = \frac{1}{T_p}$ 。另外, 为消除同极化通道的载波互扰, 需要选择合适的测量频差, 使 $e^{j2\pi y_i t} \cdot \text{rect}\left(\frac{t}{T_p}\right)$ ($i = 1, 2, \dots, M$) 构成正交子

载波, 测量频差应选择为 $\Delta f = \frac{K}{T_p}$ 。这样, 当 $f_{i,d} = 0$ 时, 各调制子载波之间满足以下关系:

$$\begin{aligned} \text{sinc}[\pi(f - f_i) T_p] \Big|_{f=f_i} &= \text{sinc}[\pi(f - f_i - \mathcal{F}) T_p] \Big|_{f=f_i + \mathcal{F}} = 1 \\ \text{sinc}[\pi(f - f_i) T_p] \Big|_{f=f_i + \mathcal{F}} &= \text{sinc}[\pi(f - f_i - \mathcal{F}) T_p] \Big|_{f=f_i} = 0 \\ \text{sinc}[\pi(f - f_i) T_p] \Big|_{f=f_j \neq f_i} &= \text{sinc}[\pi(f - f_i - \mathcal{F}) T_p] \Big|_{f=f_j \neq f_i} = 0 \end{aligned} \quad (9)$$

2.2 瞬时成像算法

本文只分析静止目标的全极化一维距离像瞬时成像算法。在对 H、V 极化通道的脉冲回波信号作傅立叶变换后, 取频谱在频点 f_i 、 $f_i + \mathcal{F}$ ($i = 0, 1, \dots, M-1$) 处的频域采样值, 由子载波的正交性, 得到

$$E_{r,H}(f_i) = \sum_{k=1}^L s_{hh}^k \cdot e^{-j2\pi(f_0 + i \cdot \Delta f) t_0^k}, \quad E_{r,H}(f_i + \mathcal{F}) = \sum_{k=1}^L s_{hv}^k \cdot e^{j\delta \phi_0^k} \cdot e^{-j2\pi(f_0 + i \cdot \Delta f + \mathcal{F}) t_0^k} \\ E_{r,V}(f_i) = \sum_{k=1}^L s_{vh}^k \cdot e^{-j2\pi(f_0 + i \cdot \Delta f) t_0^k}, \quad E_{r,V}(f_i + \mathcal{F}) = \sum_{k=1}^L s_{vv}^k \cdot e^{j\delta \phi_0^k} \cdot e^{-j2\pi(f_0 + i \cdot \Delta f + \mathcal{F}) t_0^k} \quad (10)$$

对式(10)关于变量 i 作 M 点 IDFT 处理, 并把 $t_0 = \frac{2R_0^k}{c}$ 代入, 即求出目标全极化一维距离像。

$$y_{ph}(n) = \frac{1}{M} \sum_{k=1}^L s_{ph}^k \cdot e^{-j2\pi f_0 \frac{2r_0^k}{c}} \cdot e^{[j\pi(M-1)(\frac{n}{M} - \Delta f \cdot \frac{2r_0^k}{c})]} \frac{\sin M\pi(\frac{n}{M} - \Delta f \cdot \frac{2r_0^k}{c})}{\sin\pi(\frac{n}{M} - \Delta f \cdot \frac{2r_0^k}{c})}, \quad p \in \{h, v\} \quad (11)$$

$$y_{qv}(n) = \frac{1}{M} \sum_{k=1}^L s_{qv}^k \cdot e^{j\delta\phi_0} \cdot e^{-j2\pi(f_0 + \delta) \frac{2r_0^k}{c}} \cdot e^{[j\pi(M-1)(\frac{n}{M} - \Delta f \cdot \frac{2r_0^k}{c})]} \frac{\sin M\pi(\frac{n}{M} - \Delta f \cdot \frac{2r_0^k}{c})}{\sin\pi(\frac{n}{M} - \Delta f \cdot \frac{2r_0^k}{c})}, \quad q \in \{h, v\}$$

特别地,当目标只有一个强散射点($M=1$)时,四路极化通道的一维距离像形式一致,表示为

$$|y_{pq}(n)| = \frac{1}{M} s_{pq}^1 \cdot \frac{\sin M\pi(\frac{n}{M} - \Delta f \cdot \frac{2r_0^1}{c})}{\sin\pi(\frac{n}{M} - \Delta f \cdot \frac{2r_0^1}{c})}, \quad p, q \in \{h, v\} \quad (12)$$

与步进频宽带信号类似,该矢量波形的距离分辨率为 $\Delta r = \frac{c}{2M\Delta f}$,最大无模糊距离为 $r_u = \frac{c}{2\Delta f}$ 。

3 全极化一维距离像瞬时测量实验

为验证本文提出的全极化一维距离像瞬时测量方法的有效性,分别利用仿真数据和实测数据进行仿真实验。

3.1 仿真实验

仿真条件:载波频率为 $f_c = 10\text{GHz}$,发射信号的起始调制频率 $f_0 = 10\text{MHz}$,脉冲宽度为 $\tau_p = 10\mu\text{s}$,极化频差 $\delta = \frac{1}{\tau_p} = 100\text{kHz}$,测量频差 $\Delta f = \frac{50}{\tau_p} = 5\text{MHz}$,测量频点数 $M = 101$,测量带宽 $B = 500\text{MHz}$,距离分辨率为 $\Delta r = \frac{c}{2B} = 0.3\text{m}$,最大无模糊距离为 $r_u = \frac{c}{2\Delta f} = 30\text{m}$ 。设距离径向扩展目标由3个散射点组成,相对距离分别为 $r_1 = 0\text{m}$ 、 $r_2 = 1\text{m}$ 、 $r_3 = 2.5\text{m}$,运动速度为0,三个散射点的极化散射矩阵分别为 $S_1 = \begin{bmatrix} 1 & j \\ j & 0.5 \end{bmatrix}$ 、 $S_2 = \begin{bmatrix} 1 & 0.8j \\ 0.8j & 0.6 \end{bmatrix}$ 及 $S_3 = \begin{bmatrix} 1 & 0.6j \\ 0.6j & 0.7 \end{bmatrix}$,仿真信噪比 $\text{SNR} = 10\text{dB}$ 。图2是按本文算法得到目标全极化一维距离像,其中,图2(a)、图2(b)、图2(c)分别是HH、VH、VV极化通道一维距离像。

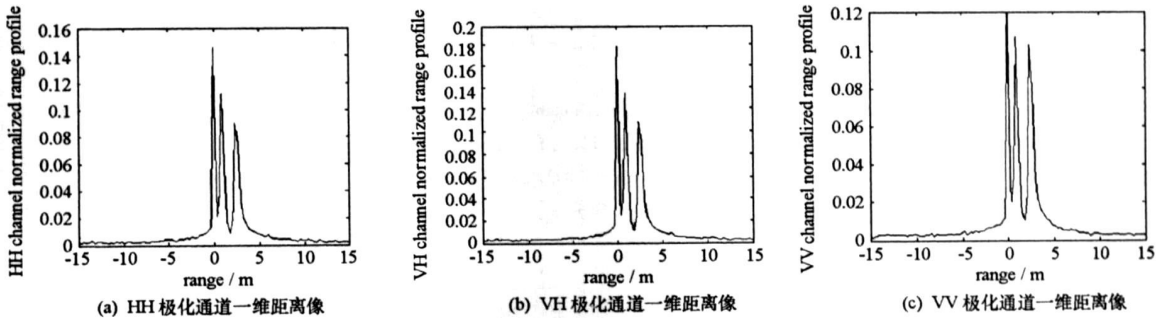


图2 全极化一维距离像仿真结果

Fig. 2 Simulating results for full polarization range profile

3.2 实测数据实验

为进一步验证该测量方法的正确性,利用某弹头类目标的暗室测量数据进行仿真实验。目标长度约2.1m,暗室测量条件为:测量频率范围为8.75GHz~10.75GHz,频率步进间隔为20MHz,俯仰角为 0° ,方位角为 30° 。选择瞬时步进频矢量脉冲波形参数如下:载波频率 $f_c = 8.74\text{GHz}$,脉冲宽度 $\tau_p = 10\mu\text{s}$,极化频差 $\delta = \frac{1}{\tau_p} = 100\text{kHz}$,测量频差 $\Delta f = 20\text{MHz}$,测量频点数 $M = 101$,测量带宽 $B = 2\text{GHz}$,信噪比 SNR

= 5dB。以该波形激励目标,利用实测数据产生回波信号,并按本文算法求出全极化一维距离像,结果如图3所示。其中,图3(a)、图3(b)、图3(c)及图3(d)分别是HH、HV、VH及VV极化通道的一维距离像,“-”是本文方法得到的结果,“—”是实测数据直接进行IDFT的结果。

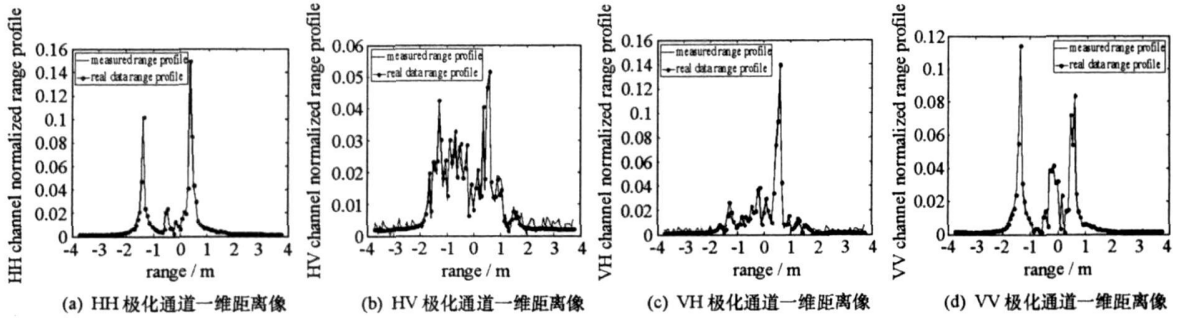


图3 某弹头类目标的全极化一维距离像
Fig. 3 Full polarization range profile of one missile target

4 结束语

本文结合正交频率分集思想和全极化瞬时测量方法,设计出瞬时步进频矢量脉冲波形,推导了目标多散射点回波模型,并给出全极化一维距离像的瞬时测量算法,最后,分别利用仿真实数据和实测数据进行仿真实验,验证了该方法的有效性。然而,本文未对此波形的多普勒频移特性及二维成像问题进行分析。

参考文献:

- [1] 黄培康,殷红成,等.雷达目标特性[M].北京:电子工业出版社,2005.
- [2] Steedly W M, Moses R L. High Resolution Exponential Modeling of Fully Polarized Radars[J]. IEEE Trans. on AES, 1991, 27(5): 459- 469.
- [3] Boemer W M, et al. A State-of-the-art Review in Radar Polarimetry and Its Applications in Remote Sensing [J]. IEEE AES, 1999: 3- 6.
- [4] Boemer W M. Direct and Inverse Methods in Radar Polarimetry[C]//Proc. of DIMRP 88, Netherlands: Kluwer Academic Publishers, 1992.
- [5] Gill G S, Huang J C. The Ambiguity Function of the Step Frequency Radar Signal Processor [C]//CIE International Conference, 1996: 375- 380.
- [6] 王学刚,张明友.现代信号理论,雷达目标特性[M].北京:电子工业出版社,2005.
- [7] Giuli D, Fossi M, Facheris L. Radar Target Scattering Matrix Measurement through Orthogonal Signals [J]. IEE Proceedings, 1993, 140(4): 233 - 242.
- [8] Giuli D, Facheris L, Fossi M, et al. Simultaneous Scattering Matrix Measurement through Signal Coding [C]//IEEE International Radar Conference, 1990: 258- 262.
- [9] Dai B W, et al. The Study of New Operation Modes for Spaceborne Polarimetric SAR System [J]. IGARSS 2000, 2002: 2316- 2318.
- [10] 王雪松,王剑,等.雷达目标极化散射矩阵的瞬时测量方法[J].电子学报,2006,36(6): 1020- 1025.
- [11] Pandhaipande A, et al. Principles of OFDM [J]. IEEE Potentials, 2002, 21(2): 16- 19.
- [12] Franken G E A, et al. Doppler Tolerance of OFDM-coded Radar Signals [C]//Proceedings of the 3rd European Radar Conference, 2006: 108- 111.